

저피탐 항법신호 설계를 위한 암호화된 확산부호의 상관 특성 분석

제 4회 감시-정찰-정보 학술 대회

박기현, 송홍엽, 이장용

Channel Coding and Crypto Lab
Yonsei University, Seoul, Korea

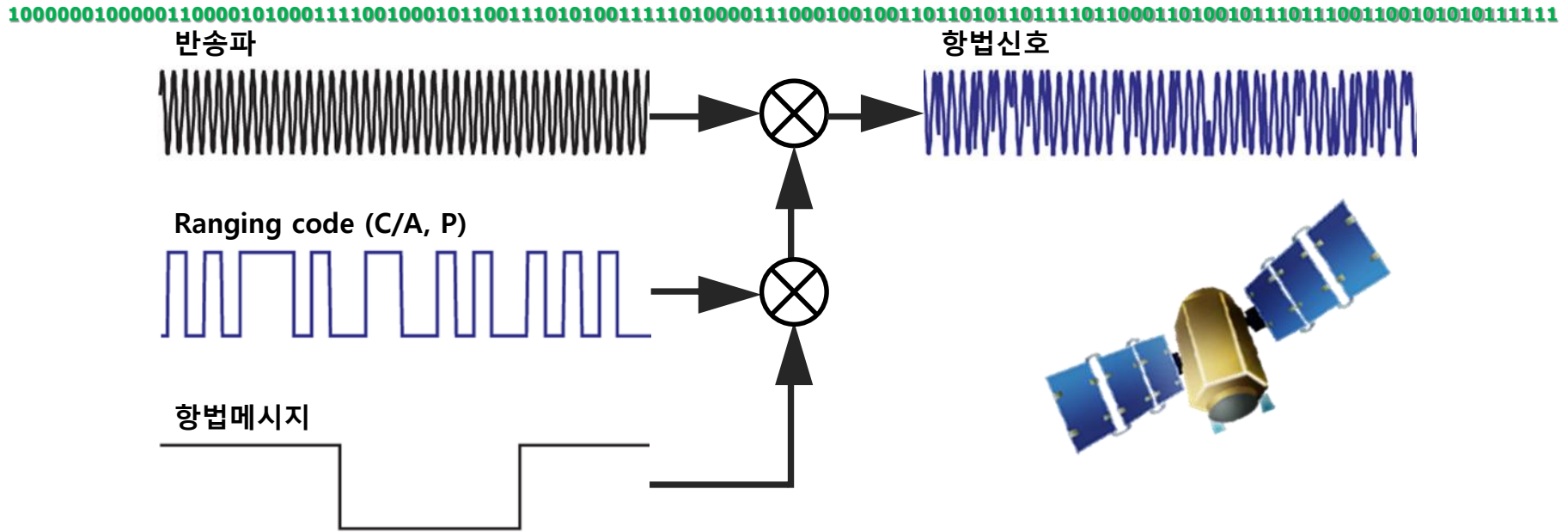
August 28, 2014

발표 순서

100000010000011000010100011110010001011001110101001111101000011100010010011011010110111101100011010010111011100110010101011111

- 위성항법신호에서의 확산부호
- 공격 모델 및 암호화의 특성: 저피탐의 의미
- 이론적 상관특성 분석
- 시뮬레이션 및 결론

위성항법신호에서의 확산부호

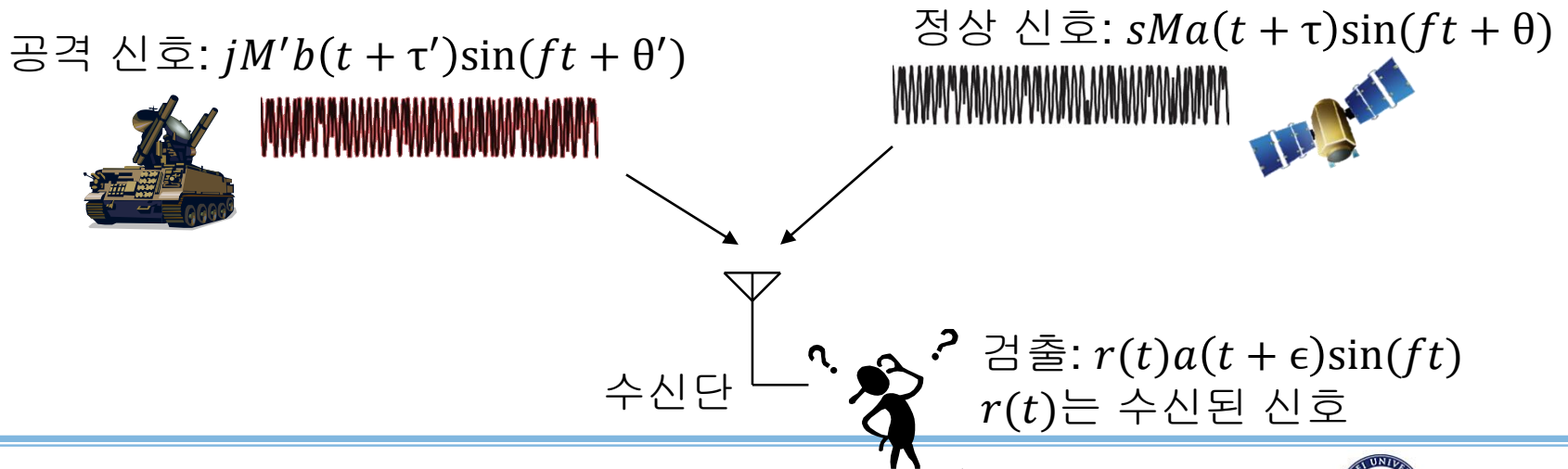


- 메시지보다 훨씬 큰 비트레이트를 가지며, 송수신단 모두 알고 있음
- 측위 정확도를 위하여 자기상관특성이, 상호간섭 억제를 위하여 상호상관특성이 중요함
- GPS C/A 부호는 자기상관/상호상관특성이 좋은 Gold Code를 사용

공격 모델

100000010000011000010100011110010001011001110101001111101000011100010010011011010110111101100011010010111011100110010101011111

- 공격자는 반송파 주파수 f 를 알고 있음
- 공격자는 수신자의 신호수신을 억제/방해하려고 함
 - 정상 메시지 M 을 수신하지 못하게/대신 M' 을 수신시키려 함
 - 공격자는 $a(t)$ 로 정의된 확산부호를 사용하는 시스템을 공격하기 위해 $b(t)$ 를 확산부호로 사용
 - 정상 신호 파워 레벨 s 에 대하여, 재밍 파워 레벨 j 로 송출



저피탐

100000010000011000010100011110010001011001110101001111101000011100010010011011010110111101100011010010111011100110010101011111

- 저피탐의 의미: 공격자의 신호 탐지(Detection) 및 손상(Jamming) 공격에 대한 신호의 내성에 대한 지표
 - Low Probability of Interception, LPI
 - 저피탐 신호: 공격내성이 높은 신호
 - 동일 수준의 공격을 수행하기 위한 공격자의 비용으로 정량화됨
- 공격 모델에서의 분석
 - 수신단이 M 을 수신하지 못하게 하는 최소 파워 j 가 공격자의 재밍 비용이 됨
 - 두 신호 모두 $a(t)$ 의 MF를 통과하므로, 수신단에서 느끼는 재밍 파워는 $j|R_{a,b}|$ 가 됨
 - 즉, 공격자가 사용하는 $b(t)$ 가 $a(t)$ 와 비슷할수록 (상호상관 값이 높을수록) 비용을 낮출 수 있음

암호화의 효과

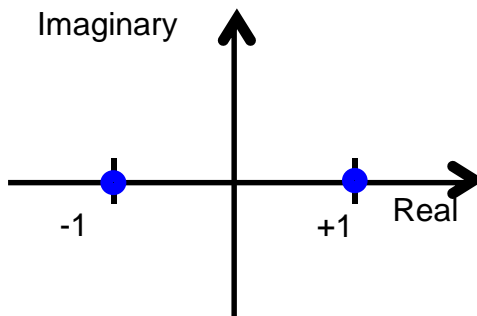
100000010000011000010100011110010001011001110101001111101000011100010010011011010110111101100011010010111011100110010101011111

- 저피탐 신호는 공격자가 $a(t)$, 혹은 그와 유사한 확산부호를 쉽게 추정할 수 없게 하여야 함
- 후보군의 범위가 전수 조사가 가능할 만큼 좁은 Gold Code 등은 부적합
 - 공격자는 자신이 수신한 신호를 가정한 코드에 대입시켜 수신 레벨을 확인함으로써 신호검출 가능
- 암호화는 확산부호를 랜덤수열로 변환시켜 후보군의 범위를 키 스페이스까지 확장시킴
 - ➔ 전수 조사를 통한 후보군 대입이 불가능
- Gold Code등이 가지고 있던 상관 특성의 유지가 불가능
 - ➔ 얼마나 안 좋아질 것인가?

이론적 특성 분석: BPSK Real Signal

100000010000011000010100011110010001011001110101001111101000011100010010011011010110111101100011010010111011100110010101011111

- BPSK에서 확산부호는 $[+1, -1]$ 의 신호값으로 모델링됨



- 암호화된 확산부호는 각각의 값을 균등한 확률분포 (50%)로 가짐
- 암호화된 서로 다른 두 $a[n], b[n]$ 확산부호의 임의의 위치에서의 곱 $a[n]b^*[n + \tau]$ 또한 $[+1, -1]$ 각각의 값을 균등한 확률분포 (50%)로 가짐

이론적 특성 분석: BPSK Real Signal

100000010000011000010100011110010001011001110101001111101000011100010010011011010110111101100011010010111011100110010101011111

- 길이 N 인 두 확산부호 $a[n], b[n]$ 의 상호상관값 $R_{a,b}(\tau)$ 는 다음과 같이 정의됨

$$R_{a,b}(\tau) = \sum_{i=0}^{N-1} a[i]b^*[i + \tau]$$

- 상호상관값의 절대값이 h 일 확률 $p_{BPSK}(|R_{a,b}(\tau)| = h)$ 는 N 개 위치에서 $+1$ 의 개수가 $\frac{N-h}{2}$ 혹은 $\frac{N+h}{2}$ 일 때이므로, 다음과 같음

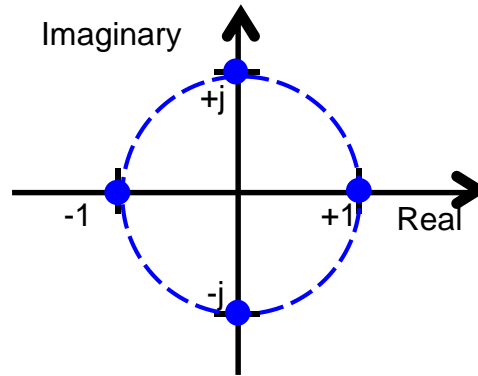
$$p_{BPSK}(|R_{a,b}(\tau)| = h) = \begin{cases} \left(\frac{N}{\frac{N+h}{2}}\right) 0.5^N + \left(\frac{N}{\frac{N-h}{2}}\right) 0.5^N & N \geq h > 0 \\ & N - h \text{ even} \\ \left(\frac{N}{\frac{N}{2}}\right) 0.5^N & N \text{ even} \\ & h = 0 \\ 0 & \text{otherwise} \end{cases}$$

$\triangleq P(N, h)$

이론적 특성 분석: QPSK Complex Signal

100000010000011000010100011110010001011001110101001111101000011100010010011011010110111101100011010010111011100110010101011111

- QPSK에서 확산부호는 $[+1, -1, +j, -j]$ 의 신호값으로 모델링됨



- 암호화된 확산부호는 각각의 값을 균등한 확률분포 (25%)로 가짐
- 암호화된 서로 다른 두 $a[n], b[n]$ 확산부호의 임의의 위치에서의 곱 $a[n]b^*[n + \tau]$ 또한 $[+1, -1, +j, -j]$ 각각의 값을 균등한 확률분포 (25%)로 가짐

이론적 특성 분석: QPSK Complex Signal

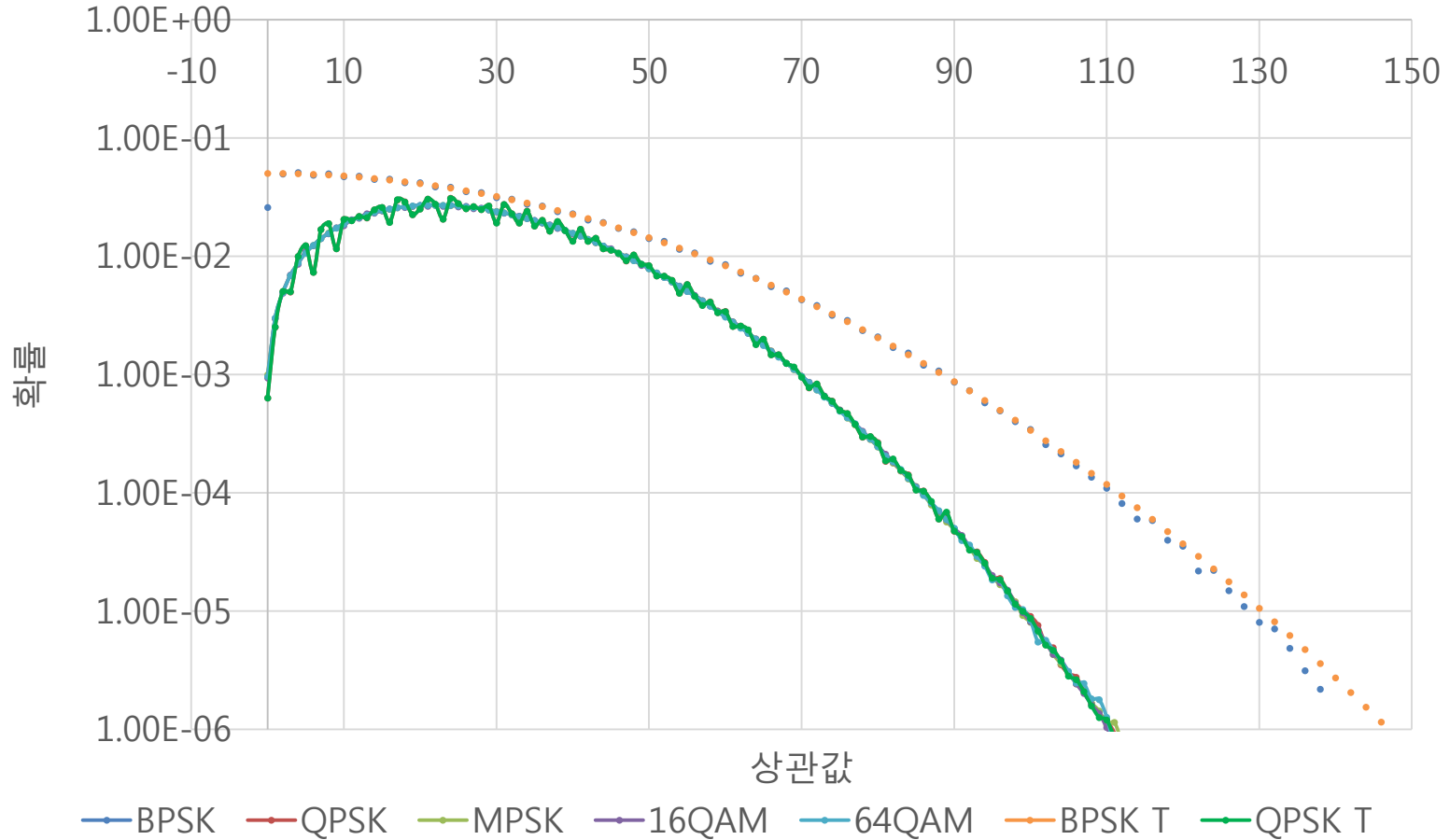
100000010000011000010100011110010001011001110101001111101000011100010010011011010110111101100011010010111011100110010101011111

- $R_{a,b}(\tau) = a + jb$ 라고 했을 때 상호상관값의 절대값이 h 일 확률 $p_{QPSK}(|R_{a,b}(\tau)| = h)$ 는 모든 가능한 a 에서 리얼값이 a 일 확률과 $b = \sqrt{h^2 - a^2}$ 가 될 확률의 곱의 합으로 표현됨
- $a[n]b^*[n + \tau]$ 표현됨가 real일 확률은 50%이므로, 전체 N 개 위치에 서 real값이 나오는 위치가 Z 개일 확률은 $\binom{N}{Z} 0.5^N$ 이 됨
- 즉, $p_{QPSK}(|R_{a,b}(\tau)| = h)$ 는 모든 가능한 Z 에서 Z 일 확률과 Z 일때 모든 가능한 a 에서 리얼값이 a 일 확률과 $b = \sqrt{h^2 - a^2}$ 가 될 확률의 곱의 합의 곱의 합이 됨, 즉

$$p_{QPSK}(|R_{a,b}(\tau)| = h) = \sum_{Z=0}^N \binom{N}{Z} 0.5^N \sum_{a=0}^Z P(Z, a) P(N - Z, \sqrt{h^2 - a^2})$$

플로팅 및 시뮬레이션

100000010000011000010100011110010001011001110101001111101000011100010010011011010110111101100011010010111011100110010101011111



- 길이 1000에서 함수 플로팅 및 시뮬레이션 조사
- 같은 복소신호는 모듈레이션이 바뀌어도 상관값 통계는 동일

암호화에 따른 성능열화 분석

100000010000011000010100011110010001011001110101001111101000011100010010011011010110111101100011010010111011100110010101011111

길이	Gold	BPSK Random
127	17	31
511	33	75
1023	65	109
16383	257	529

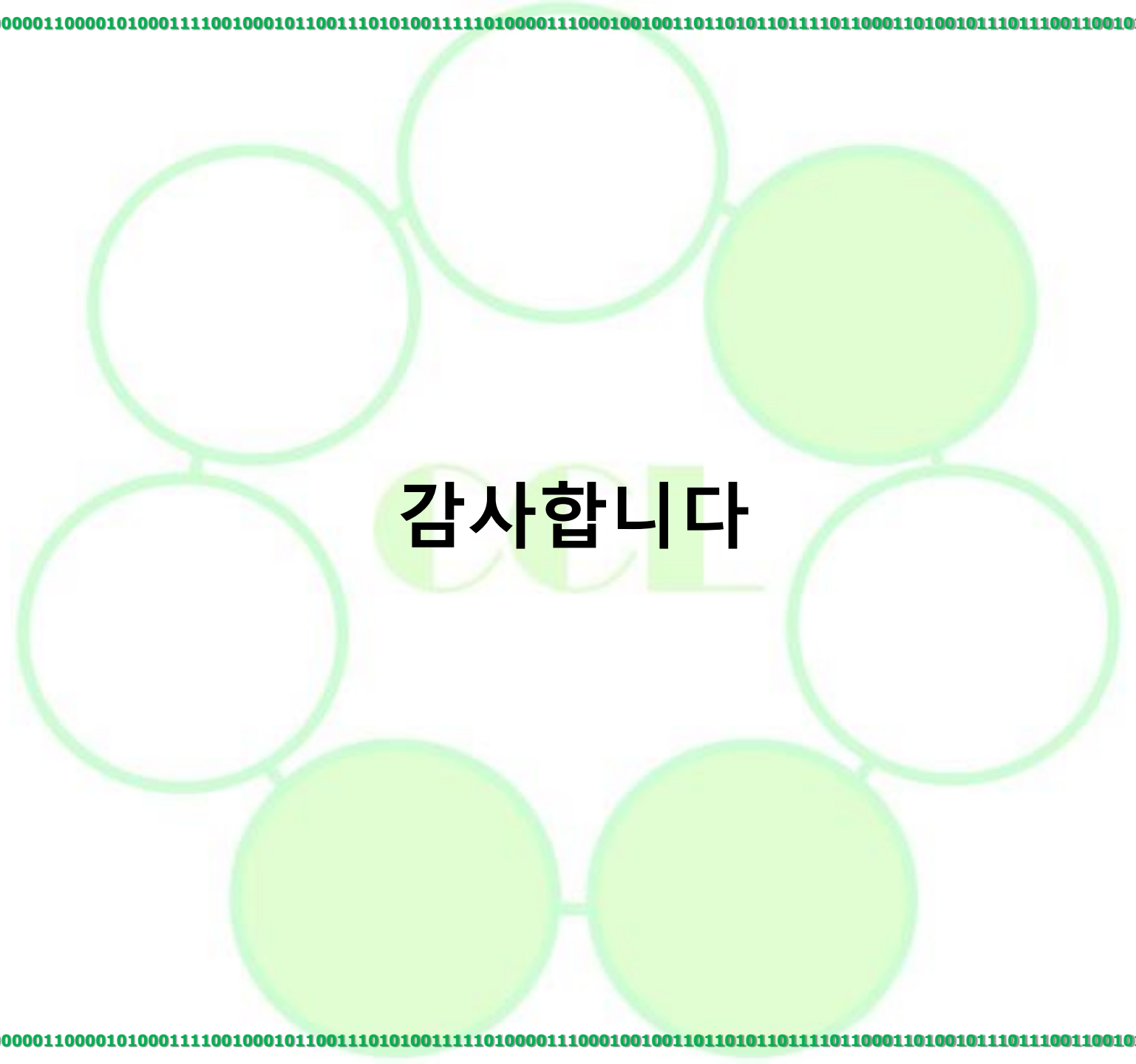
길이	Zadoff-Chu	MPSK Random
31	5.6	10.7
127	11.3	25.2
1021	32	84.3
16381	128	395

- 각 길이에 따른 주기내 최대 상호 상관값
 - 랜덤의 경우 1만 회 반복 시뮬레이션으로 구한 평균
- BPSK의 경우, 암호화된 코드 사용시 Gold Code에 비해 대략 2배 정도의 상관성능 열화를 보임
- MPSK의 경우, Zadoff-Chu 코드에 비해 대략 3배 정도의 상관성능 열화를 보임
- MPSK 를 사용한 경우에 비해 BPSK가 대략 1.5배 정도 상관성능이 나쁨

결론

100000010000011000010100011110010001011001110101001111101000011100010010011011010110111101100011010010111011100110010101011111

- 암호화된 확산부호의 장점: 공격자의 확산부호 추정이 어렵기 때문에 신호에 대한 탐지 및 재밍 공격이 어려워짐
- 암호화된 확산부호의 단점: 상관특성이 최적화된 확산부호를 사용하는 기존 시스템에 비해 열화된 측위성능을 보임
- 본 논문의 결과
 - 암호화된 확산부호의 실제 측위 성능 열화 정도를 상관도 분석을 통해 이론적/실험적으로 확인
 - 기존의 BPSK가 아닌 복소 신호를 사용하여 암호화된 수열의 상관특성을 개선 가능함을 보이고, 이 때의 기대 성능을 도식
 - 통신의 모듈레이션을 바꾸어도 암호화된 확산부호를 거의 측위성능의 차이 없이 사용할 수 있음을 확인



감사합니다